

防衛大学校 学生会員 市野宏嘉・中村史則  
正会員 正垣孝晴

### 1. はじめに

固定ピストン型シンウオールチューブサンプラーを用いて試料を採取する場合、チューブ壁面の摩擦に起因して、チューブ内の試料の乱れの領域や、それが強度・圧密特性に及ぼす影響を定量的かつ適正に検討した研究を著者らは寡聞にして知らない。正垣・松尾<sup>1)</sup>は走査型顕微鏡(SEM)を用いて、チューブ壁面からの距離に応じた土粒子のPedの変化を観察した。しかしSEMを用いる方法は、撮影したPedの特定に個人誤差が介在することに加え顕微鏡試料の乾燥収縮が土の微視構造に及ぼす影響を定量的に評価することが困難であった。

本稿では、このような問題点のない方法として、超深度形状測定顕微鏡を用いてサンプリングチューブ壁の摩擦に伴う粘性土の微視構造の変化を定量的に検討する。

### 2. 供試土と実験方法

供試土は、佐賀県有明の沖積低地から採取した自然堆積土である。45サンプラー<sup>2)</sup>を用いて、G.L.-5m, -10mと-12mの3深度zから乱さない試料を採取した。表-1に供試土の自然含水比 $w_n$ 、塑性指数 $I_p$ 、一軸圧縮強度 $q_u$ 、有効土被り圧 $\sigma'_{vo}$ を示す。

採取試料はチューブから押し出す際に高さ $h40\text{mm}$ の試料片に切断した。各試料片のチューブ内の位置は、チューブの刃先からの距離 $D_s$ によって区別した。

超深度形状測定顕微鏡(Keyence製 VK-8500:以後、Key85と略記)を用いた粘土の微視的構造の観察は、採取したすべての試料に対して行った。顕微鏡面は、図-1に示すように土粒子の堆積面で2方向(H<sub>h</sub>とH<sub>v</sub>)、その鉛直面から2方向(V<sub>h</sub>とV<sub>v</sub>)とした。撮影位置は、図-1に示すチューブ壁面から断面中央部への距離 $D_w$ として、0mm, 0.3mm, 2mm, 5mmと22mmの5種類とした。 $D_w=22\text{mm}$ は採取試料の横断面の中央部である。Key85の測定分解能を $0.1\mu\text{m}$ に設定して、プロファイルと線粗さ計測から、試料の凹凸の平均間隔 $S_m$ <sup>3)</sup>を求めた。Key85による測定は、種々検討の結果以下の方針<sup>4)</sup>によった。

- i ) 顕微鏡試料は、自然含水比の状態とする。
- ii ) 試料は太さ $0.2\text{mm}$ のワイヤソーで切断し、その面を顕微鏡面とする。
- iii ) 計測ライン長 $L_s$ は $100\mu\text{m}$ とする。
- iv ) 上述の5種類の $D_w$ に加え、練返し土も同様に撮影する。

この方針に基づいて撮影した試料の $D_s$ は、 $z=-10\text{m}$ の試料で3種類、他は1種類であった。

### 3. チューブ内の試料の縦・横断位置が $S_m$ 値に及ぼす影響

図-2はチューブ壁面の摩擦等に起因する $S_m$ 値の変化を3箇所の $D_s$ 下で検討したものである。顕微鏡試料は $z=-10\text{m}$ である。また、観察面は図-1に示したV<sub>v</sub>である。チューブ壁面からの $D_w$ は、0mm, 0.3mm, 2mm, 5mm, 22mmである。

キーワード：サンプリング、粘性土、試料の乱れ、微視構造、超深度形状測定顕微鏡

連絡先：〒239-8686 神奈川県横須賀市走水1-10-20 Tel 0468-41-3810(内)2321

表-1 不搅乱土の $w_n$ ,  $I_p$ ,  $q_u$ ,  $\sigma'_{vo}$ 値

Depth (G.L.-m)	$w_n$ (%)	$I_p$	$q_u$ (kPa)	$\sigma'_{vo}$ (kPa)
5	131	68	25	32
10	125	73	31	49
12	103	52	35	56

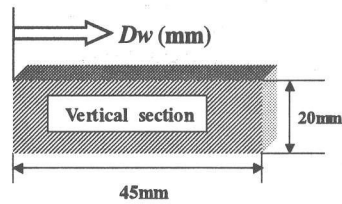
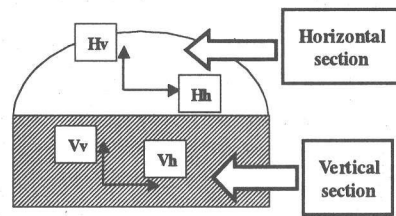


図-1 顕微鏡面と $D_w$ の定義

5mm と 22mm (チューブ断面の中央部) であり、練返し土を含め 6 地点で観察した。図-2 を見ると練返し土の  $S_m$  は  $D_s$  により異なり、(26~49)  $\mu\text{m}$  の範囲で変動するが、平均値は約 40  $\mu\text{m}$  である。また、乱さない顕鏡試料の  $S_m$  は  $D_s$  に関係なくほぼ一定である。これは、チューブ縦断方向の両端部とチューブの中央部で、試料の乱れの程度が同等であることを見している。

図-3 は  $S_m$  を  $D_w$  に対してプロットしている。 $D_w = 0\text{mm}$  から  $D_w = 2\text{mm}$  まではチューブ横断方向の中央部に向かうほど  $S_m$  値は小さくなっている。しかし、 $D_w > 2\text{mm}$  の領域の  $S_m$  値はほぼ一定の値となっている。これはチューブ壁面近傍で微視構造の乱れが大きく顕鏡面の凹凸が小さいが、 $D_w > 2\text{mm}$  の領域では微視構造に変化がなく、試料の乱れが小さいと推察される。

$d=15\text{mm}, h=35\text{mm}$  の S 供試体は、45 サンプラーで採取した  $d=45\text{mm}$  の試料から 4 個作成できる。断面中央から作成した S 供試体の応力とひずみの関係は 4 個作成した場合のそれと差がなかった。断面から 4 個の S 供試体を作成した場合、これらの供試体の周辺部は  $D_w = 3\text{mm}$  程度になる。45 サンプラーで採取した試料の場合、チューブ壁の摩擦に伴う微視構造の変化は、チューブ壁から 2mm 程度であり、 $D_w > 2\text{mm}$  の領域の試料はチューブ壁面の摩擦に起因した試料の乱れがなく力学的にも同等な品質を有していることが分かった。

#### 4. おわりに

本研究の主要な結論は以下のように要約される。

- 1) 45 サンプラーで採取した試料の  $S_m$  値は同じ  $D_w$  下で  $D_s$  に関係なくほぼ一定であった。したがって、チューブ縦断方向の両端部と中央部の試料の乱れの程度は同等であると判断された。
- 2)  $D_w < 2\text{mm}$  の領域の  $S_m$  値は、 $D_w$  が大きくなるほど小さくなり、チューブ壁面との摩擦に起因した試料の乱れが微視構造に影響している。しかし、 $D_w > 2\text{mm}$  の領域の  $S_m$  値は、 $D_w$  が大きくなっても一定であり、微視構造に変化がなかった。45 サンプラーで採取した試料は、 $D_w > 2\text{mm}$  の領域でチューブ壁面との摩擦に起因する試料の乱れは少ないと判断された。

#### 参考文献

- 1) 正垣・松尾：粘性土の強度低下に与える外的要因と微視的構造への影響、昭和 60 年度サブリンクシンポジウム論文集、pp.109 - 116, 1985.
- 2) Shogaki,T. A small diameter samplar with two chamber hydraulic pistons and the quality of its samples, Proc.of the 14 ICSMFE, Hamburg, pp.201-204, 1997.
- 3) JIS - B 0601, 表面粗さ - 定義および表示。
- 4) 正垣・中村・市野：小径倍圧型ピストンサンプラーで採取した試料の微視構造と強度特性、粘土地盤における最新の研究と実際に関するシンポジウム、地盤工学会投稿中、2002。

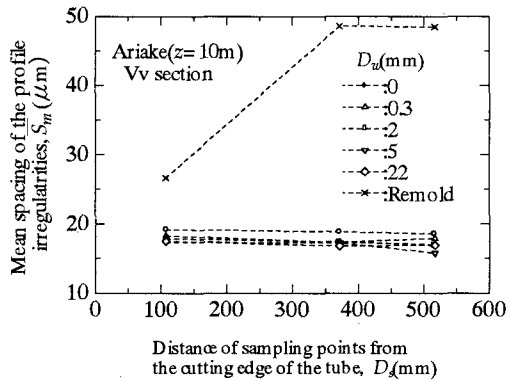


図 2  $S_m$  値に及ぼすチューブ縦断位置の影響

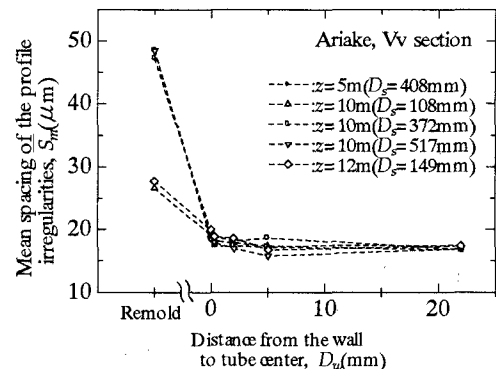


図 3.  $S_m$  値に及ぼすチューブ横断位置の影響